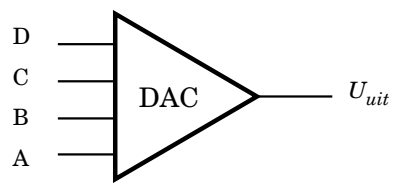


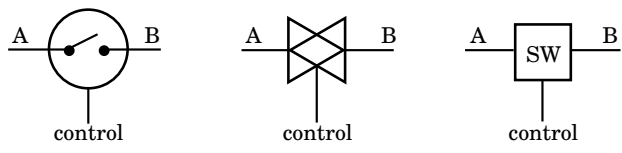
Hoofdstuk 6

AD- en DA-conversie



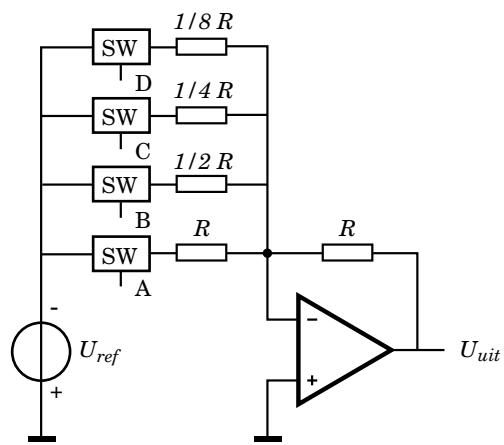
Figuur 6.1 4-bit DAC

Computersystemen en embedded systemen (LvM)



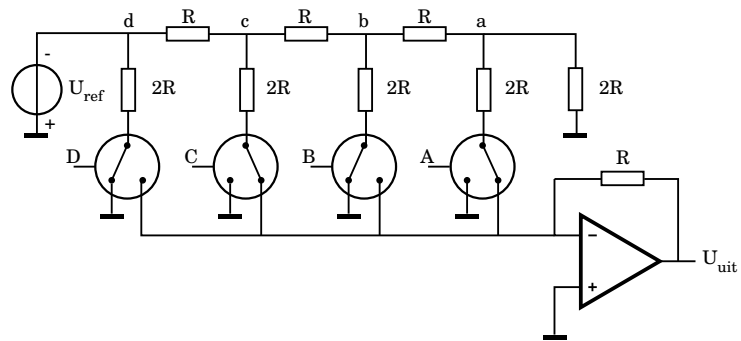
Figuur 6.2 Symbolen analog switch

Computersystemen en embedded systemen (LvM)



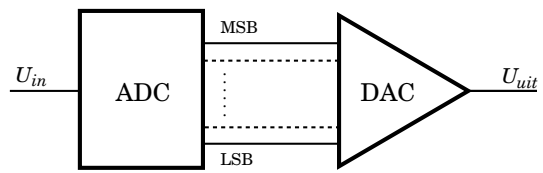
Figuur 6.3 Principe-realisatie van een DAC met een opamp

Computersystemen en embedded systemen (LvM)



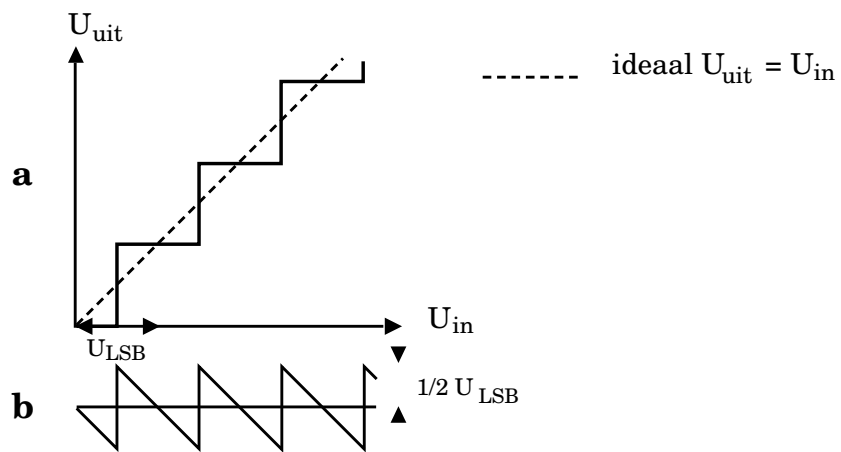
Figuur 6.4 Realisatie van een DAC met een opamp en een ladder-netwerk

Computersystemen en embedded systemen (LvM)



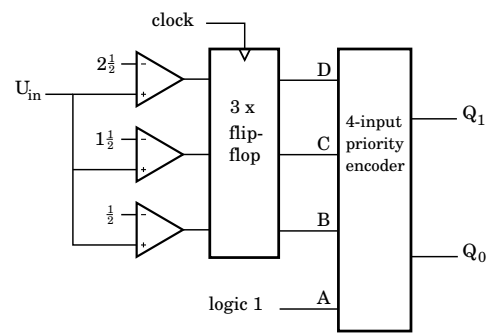
Figuur 6.5 Ideale DAC in serie met een ADC

Computersystemen en embedded systemen (LvM)



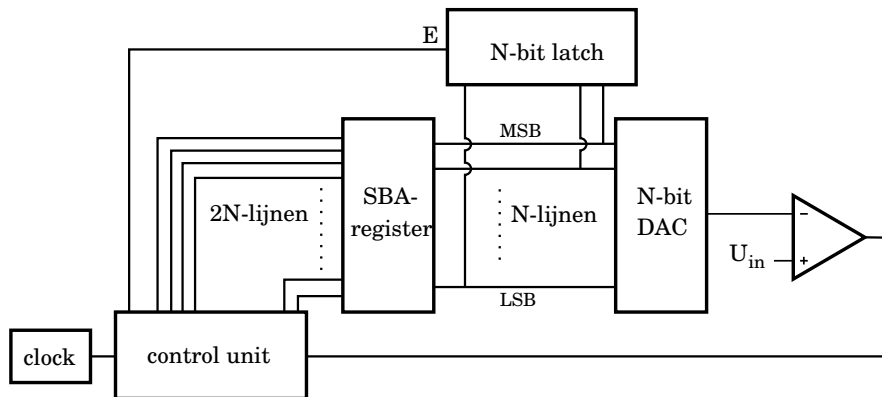
Figuur 6.6 a) $U_{\text{uit}}(U_{\text{in}})$ voor ADC-DAC-combinatie

Computersystemen en embedded systemen (LvM)



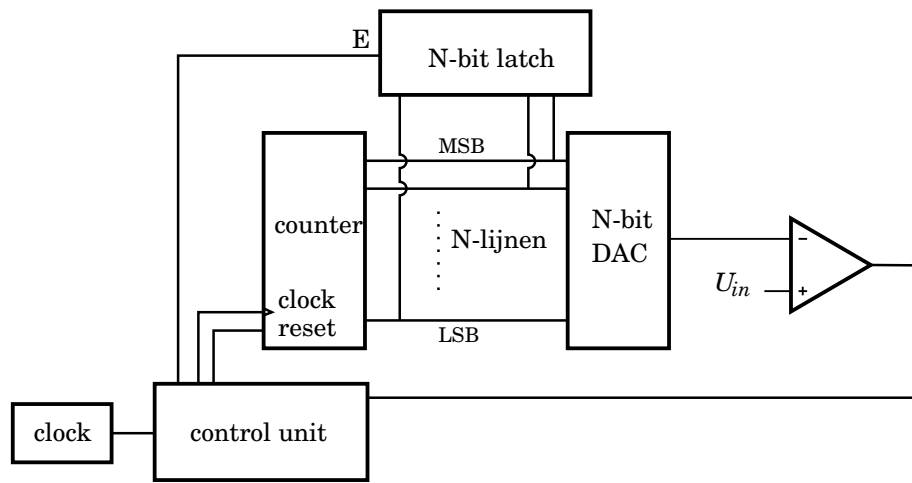
Figuur 6.7 2-bit ADC volgens de parallelmethode

Computersystemen en embedded systemen (LvM)



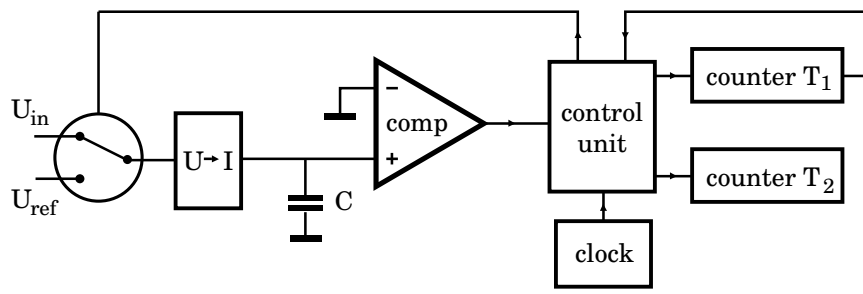
Figuur 6.8 Blokschema ADC volgens SBA-methode

Computersystemen en embedded systemen (LvM)



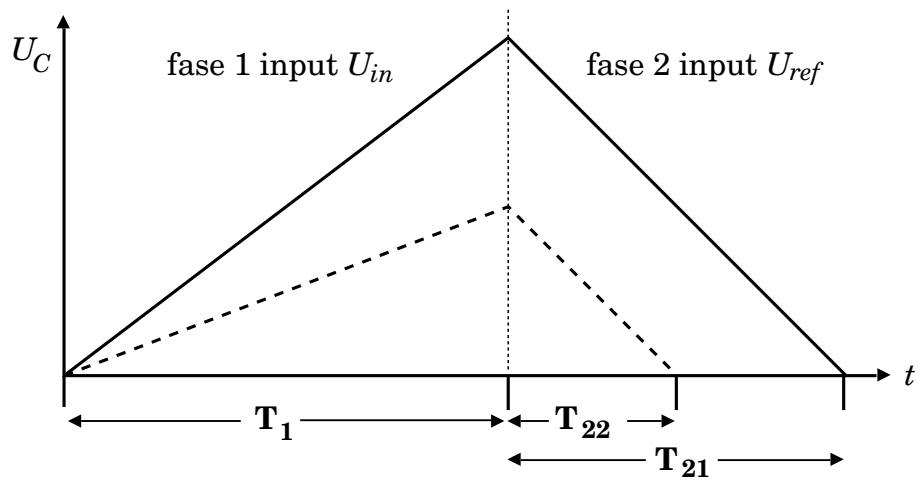
Figuur 6.9 Blokschema ADC met counter en DAC

Computersystemen en embedded systemen (LvM)



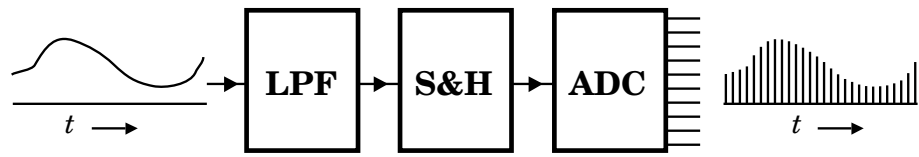
Figuur 6.10 ADC met dual ramp integration

Computersystemen en embedded systemen (LvM)



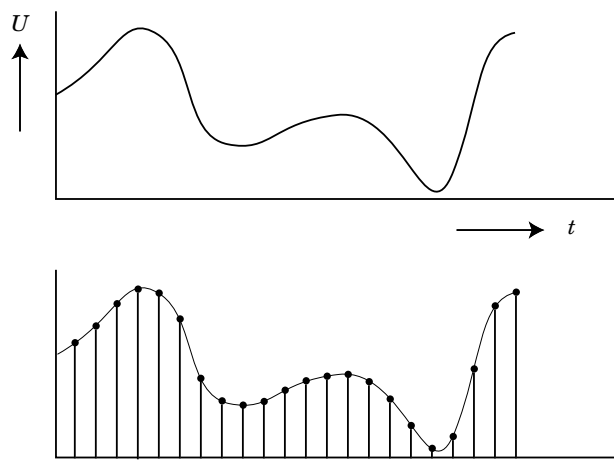
Figuur 6.11 Spanning over C als functie van de tijd

Computersystemen en embedded systemen (LvM)



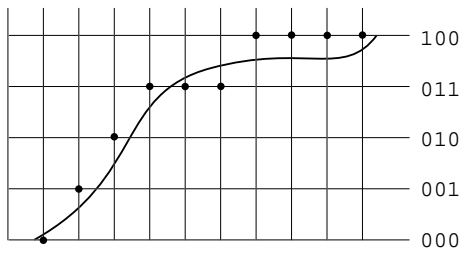
Figuur 6.12 A-D-conversieproces

Computersystemen en embedded systemen (LvM)



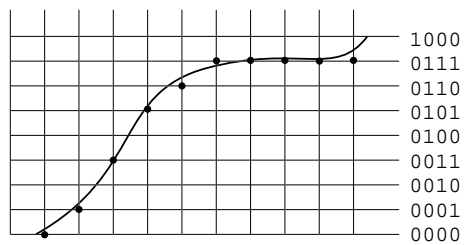
Figuur 6.13 Samplingproces

Computersystemen en embedded systemen (LvM)



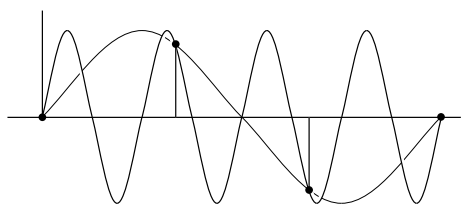
Figuur 6.14 Samplefout bij een zekere resolutie

Computersystemen en embedded systemen (LvM)



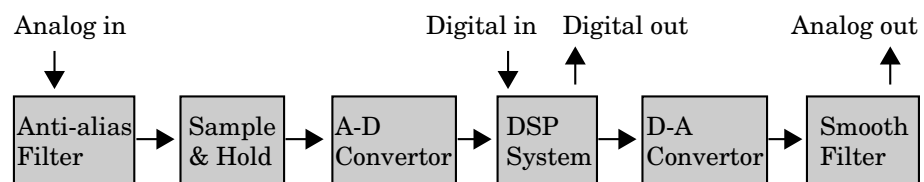
Figuur 6.15 Samplefout bij hogere resolutie

Computersystemen en embedded systemen (LvM)



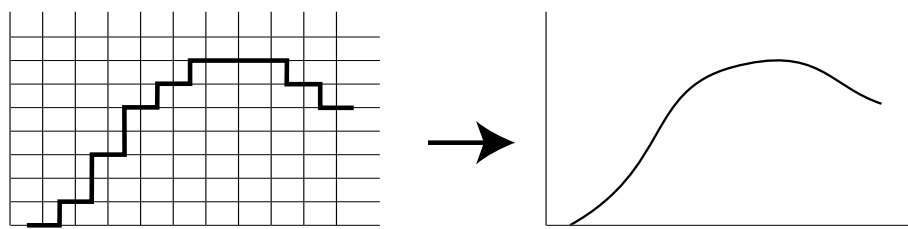
Figuur 6.16 Sampletheorema

Computersystemen en embedded systemen (LvM)



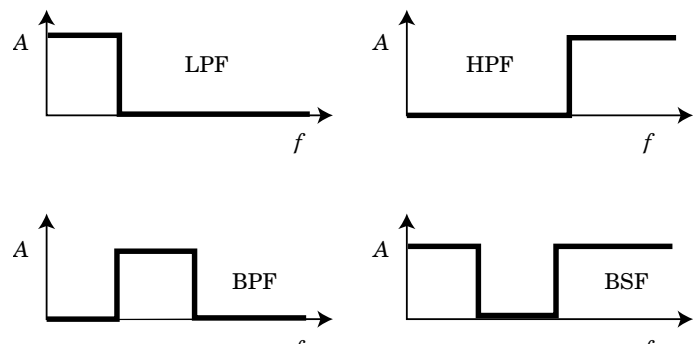
Figuur 6.17 Overzicht van DSP

Computersystemen en embedded systemen (LvM)



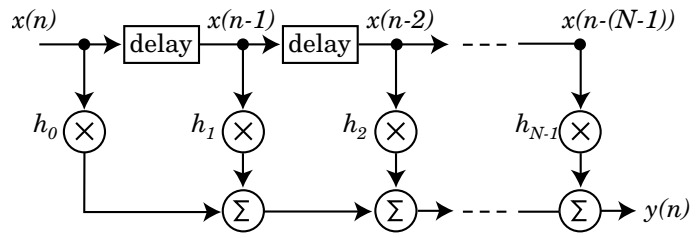
Figuur 6.18 Effect van laagdoorlaatfilter

Computersystemen en embedded systemen (LvM)



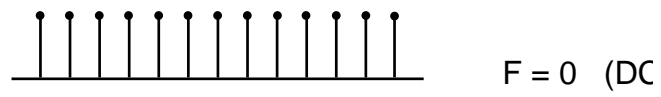
Figuur 6.19 Basisfilters

Computersystemen en embedded systemen (LvM)

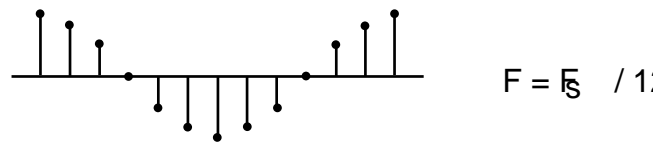


Figuur 6.20 Finite Impulse Response

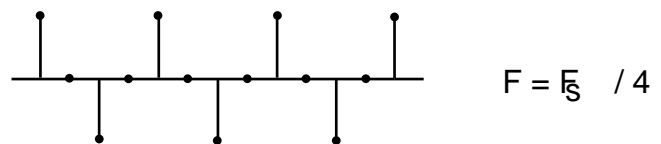
Computersystemen en embedded systemen (LvM)



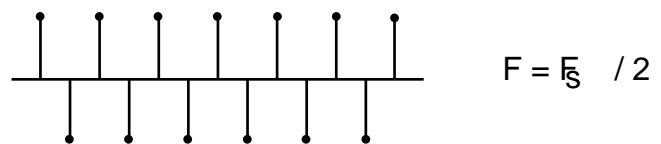
$$F = 0 \text{ (DC)}$$



$$F = f_s / 12$$



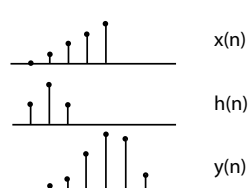
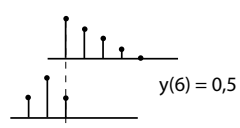
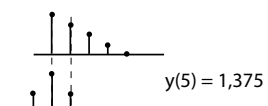
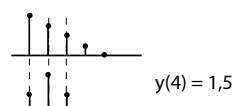
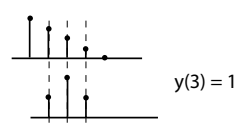
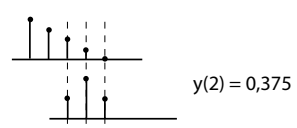
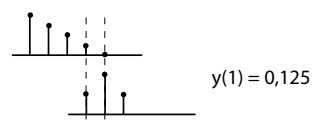
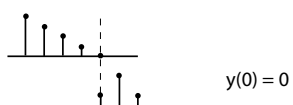
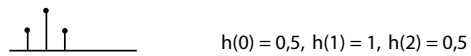
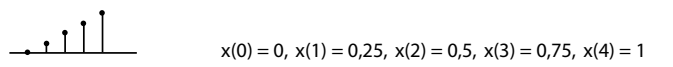
$$F = f_s / 4$$



$$F = f_s / 2$$

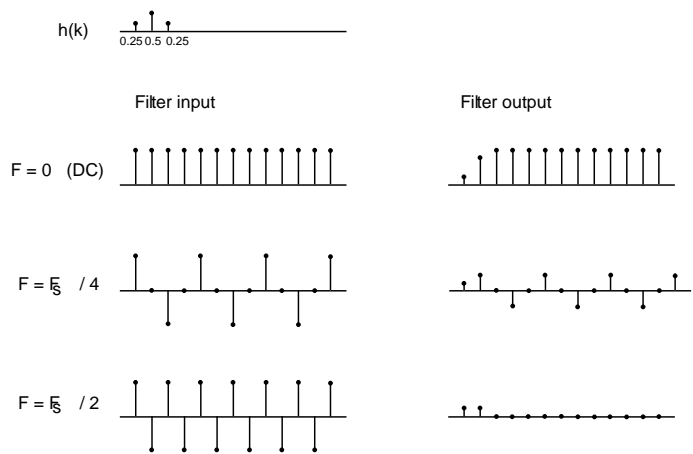
Figuur 6.21 Samples van sinusvormige signalen

Computersystemen en embedded systemen (LvM)



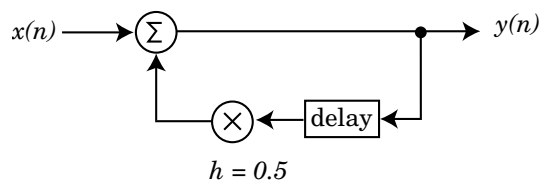
Figuur 6.22 Convolutie van twee samplesets

Computersystemen en embedded systemen (LvM)



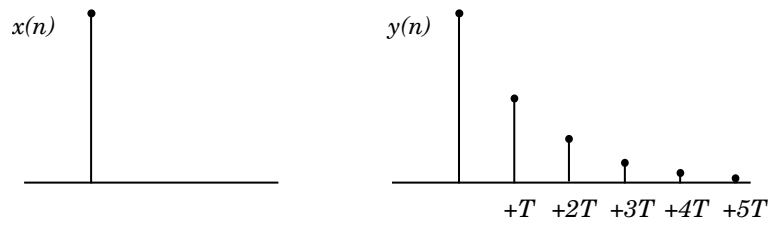
Figuur 6.23 Werking van een eenvoudig LPF

Computersystemen en embedded systemen (LvM)



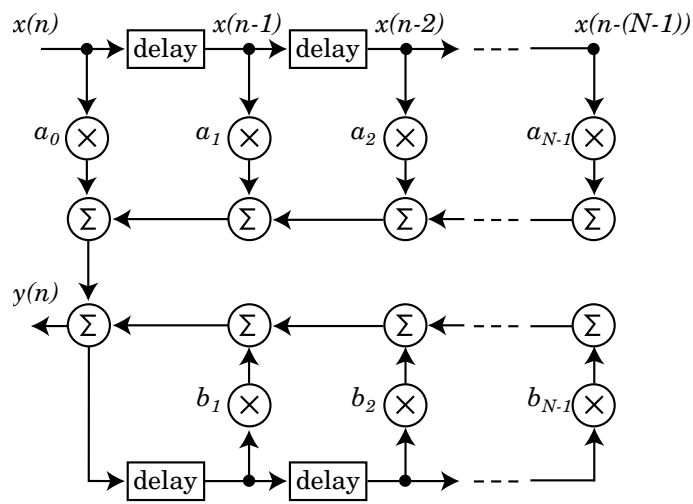
Figuur 6.24 Infinite Impulse Response

Computersystemen en embedded systemen (LvM)



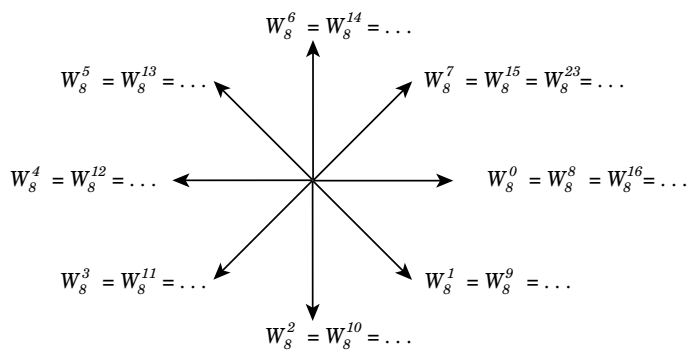
Figuur 6.25 Voorbeeld van IIR filter

Computersystemen en embedded systemen (LvM)



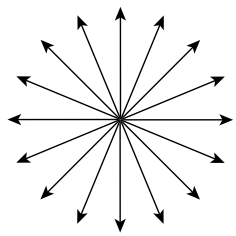
Figuur 6.26 Realisatie van een IIR-filter

Computersystemen en embedded systemen (LvM)



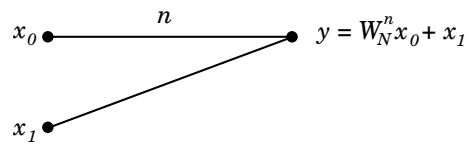
Figuur 6.27 Fasehoeken acht-punts FFT

Computersystemen en embedded systemen (LvM)



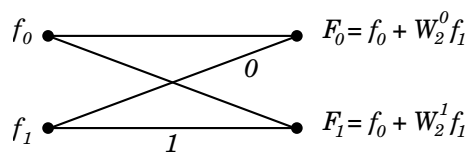
Figuur 6.28 Fasehoeken zestien-punt FFT

Computersystemen en embedded systemen (LvM)



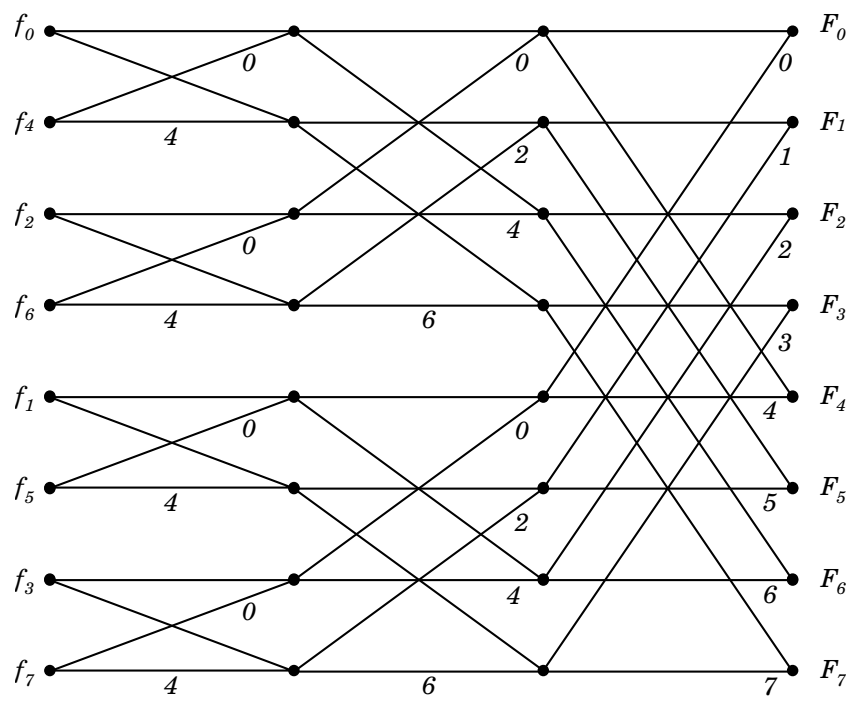
Figuur 6.29 Signal flowdiagram

Computersystemen en embedded systemen (LvM)



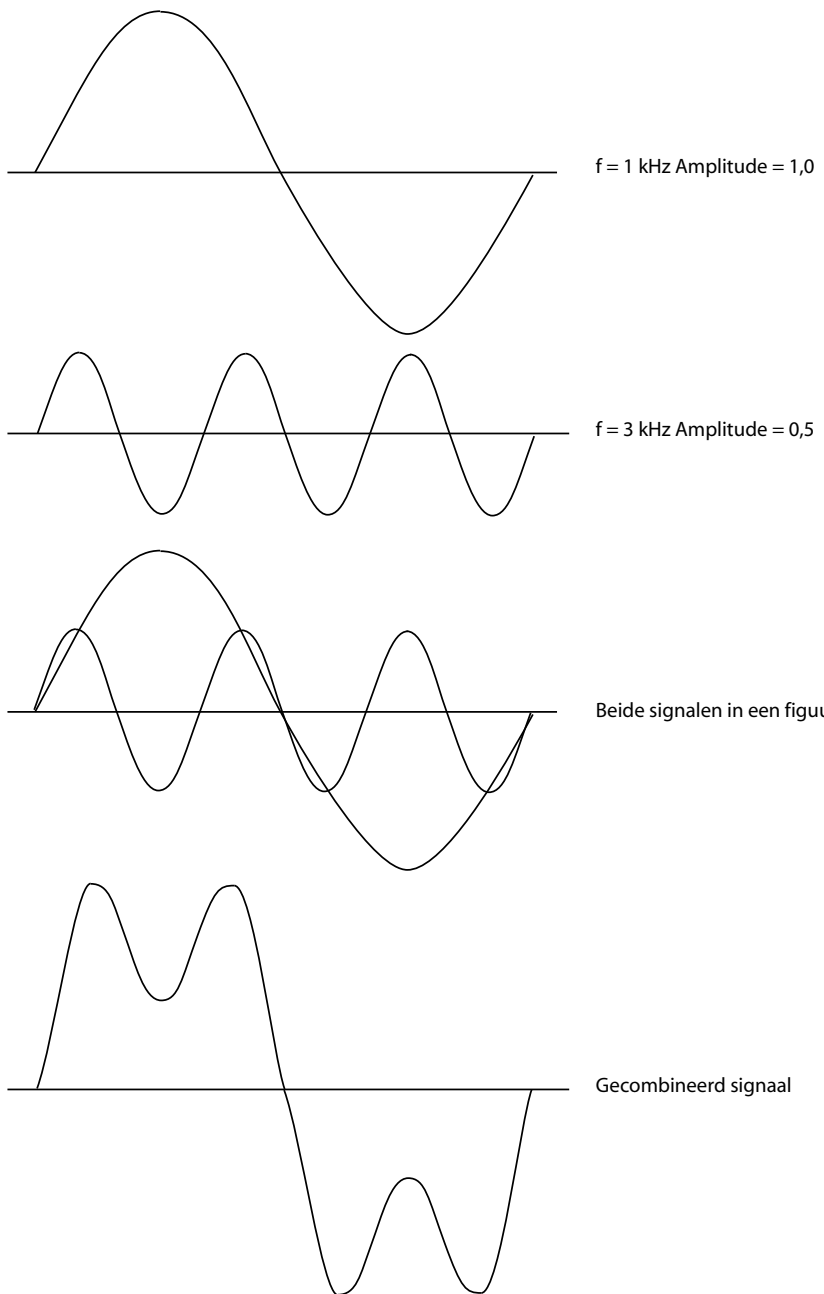
Figuur 6.30 Butterfly voor twee-punts FFT

Computersystemen en embedded systemen (LvM)



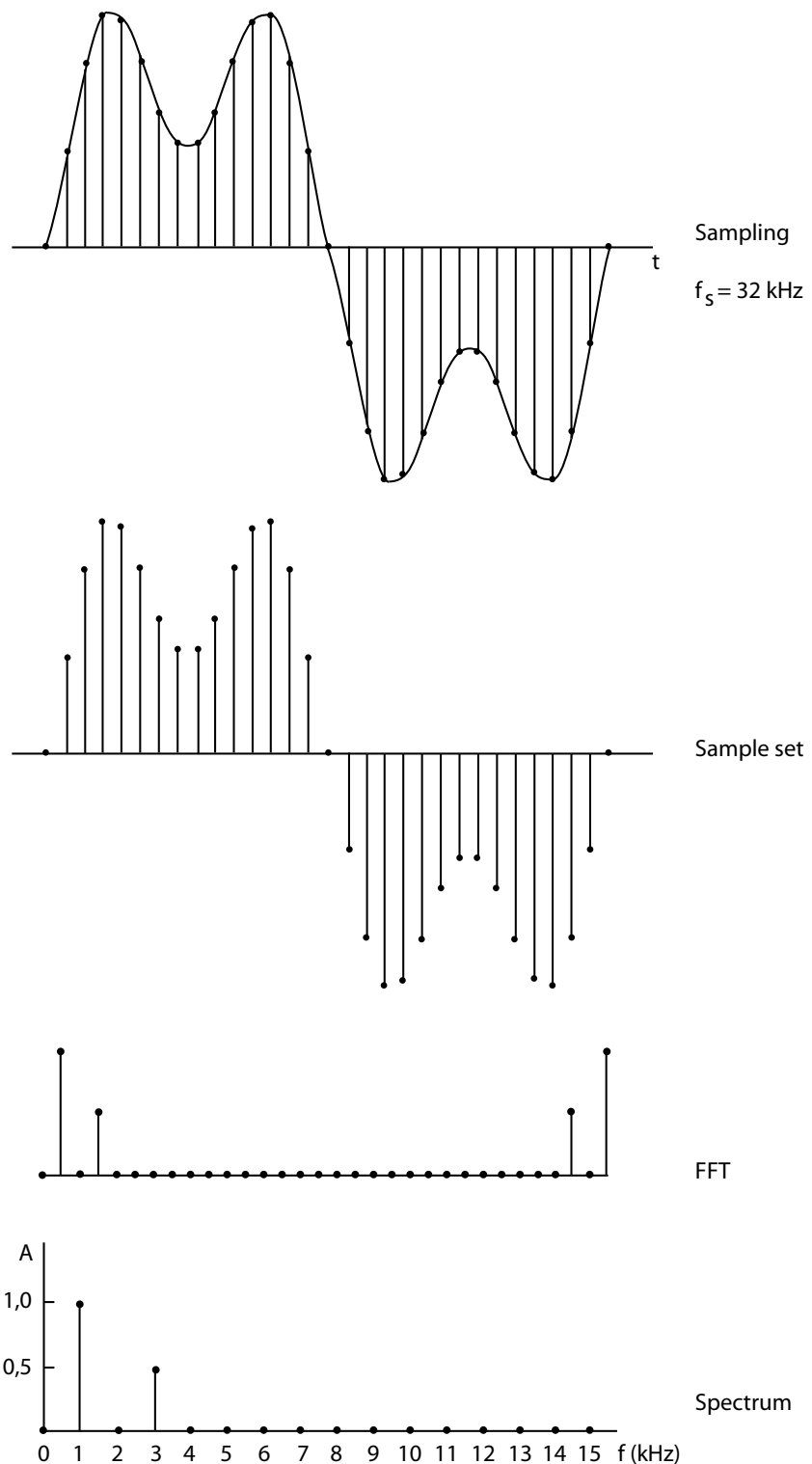
Figuur 6.31 Acht punts FFT

Computersystemen en embedded systemen (LvM)



Figuur 6.32 Samengesteld signaal bestaande uit twee sinussen

Computersystemen en embedded systemen (LvM)



Figuur 6.33 FFT van een samengesteld sinussignaal

Computersystemen en embedded systemen (LvM)